

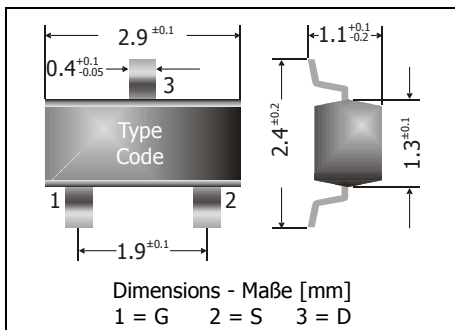
MMFTN20

N

N-Channel Enhancement Vertical D-MOS Transistor
N-Kanal Vertikal D-MOS Transistor - Anreicherungstyp

N

Version 2015-05-12



Power dissipation – Verlustleistung

300 mW

Plastic case

SOT-23

Kunststoffgehäuse

(TO-236)

Weight approx. – Gewicht ca.

0.01 g

Plastic material has UL classification 94V-0
Gehäusematerial UL94V-0 klassifiziert

Standard packaging taped and reeled

Standard Lieferform gegurtet auf Rolle



Maximum ratings ($T_A = 25^\circ\text{C}$)

Grenzwerte ($T_A = 25^\circ\text{C}$)

		MMFTN20
Drain-Source-voltage – Drain-Source-Spannung	V_{DS}	50 V
Gate-Source-voltage – Gate-Source-Spannung D open	V_{GSO}	± 20 V
Power dissipation – Verlustleistung	P_{tot}	300 mW ¹⁾
Power dissipation – Verlustleistung	P_{tot}	250 mW ²⁾
Drain current – Drainstrom (dc)	I_D	100 mA
Peak Drain current – Drain-Spitzenstrom	I_{DM}	300 mA
Junction temperature – Sperrsichttemperatur Storage temperature – Lagerungstemperatur	T_j T_s	-55...+150°C -55...+150°C

1 Device mounted on a ceramic substrate 10 x 8 x 0.7 mm

Bauteil montiert auf Keramiksubstrat 10 x 8 x 0.7 mm

2 Device mounted on standard PCB material

Bauteil montiert auf Standard-Leiterplattenmaterial

Characteristics ($T_j = 25^\circ\text{C}$)Kennwerte ($T_j = 25^\circ\text{C}$)

		Min.	Typ.	Max.
Drain-Source breakdown voltage – Drain-Source-Durchbruchspannung $I_D = 10 \mu\text{A}$	$V_{(\text{BR})\text{DSS}}$	50 V		
Drain-Source leakage current – Drain-Source-Leckstrom $V_{\text{DS}} = 40 \text{ V}$	I_{DSS}			1 μA
Gate-Source leakage current – Gate-Source-Leckstrom $V_{\text{GS}} = \pm 20 \text{ V}$	I_{GSS}			$\pm 100 \text{ nA}$
Gate-Source threshold voltage – Gate-Source Schwellspannung $V_{\text{GS}} = V_{\text{GS}}, I_D = 1 \text{ mA}$	$V_{\text{GS}(\text{th})}$	0.4 V		1.8 V
Drain-Source on-state resistance – Drain-Source Einschaltwiderstand $V_{\text{GS}} = 10 \text{ V}, I_D = 100 \text{ mA}$ $V_{\text{GS}} = 5 \text{ V}, I_D = 100 \text{ mA}$ $V_{\text{GS}} = 2.5 \text{ V}, I_D = 10 \text{ mA}$	$R_{\text{DS}(\text{on})}$ $R_{\text{DS}(\text{on})}$ $R_{\text{DS}(\text{on})}$			15 Ω 20 Ω 30 Ω
Forward Transfer Admittance – Übertragungssteilheit $V_{\text{DS}} = 10 \text{ V}, I_D = 100 \text{ mA}$	$ g_{\text{fs}} $	40 mS		
Input Capacitance – Eingangskapazität $V_{\text{DS}} = 10 \text{ V}, f = 1 \text{ MHz}$	C_{iss}			15 pF
Output Capacitance – Ausgangskapazität $V_{\text{DS}} = 10 \text{ V}, f = 1 \text{ MHz}$	C_{oss}			15 pF
Reverse Transfer Capacitance – Rückwirkungskapazität $V_{\text{DS}} = 10 \text{ V}, f = 1 \text{ MHz}$	C_{rss}			5 pF
Turn-On Time – Einschaltzeit $V_{\text{GS}} = 0 \dots 10 \text{ V}, V_{\text{DD}} = 20 \text{ V}, I_D = 100 \text{ mA}$	$t_{(\text{on})}$			5 ns
Turn-Off Time – Ausschaltzeit $V_{\text{GS}} = 10 \dots 0 \text{ V}, V_{\text{DD}} = 20 \text{ V}, I_D = 100 \text{ mA}$	$t_{(\text{off})}$			10 ns
Thermal resistance junction to ambient air Wärmewiderstand Sperrsicht – umgebende Luft	R_{thA} R_{thA}			< 430 K/W ¹⁾ < 500 K/W ²⁾

1 Device mounted on a ceramic substrate 10 x 8 x 0.7 mm

Bauteil montiert auf Keramiksubstrat 10 x 8 x 0.7 mm

2 Device mounted on standard PCB material

Bauteil montiert auf Standard-Leiterplattenmaterial